



FOTO nº 9501 VA

Afloramiento de pizarras psamíticas (10) de la Unidad Inferior del C.E.G.

1: Estratificación. 2: Esquistosidad de Fase 1.



FOTO nº 9502 VA

Detalle de la foto anterior donde se aprecia la naturaleza arenosa de las pizarras y la relación estructural existente entre S_0 y S_1 .



FOTO nº 9503 VA

Vista parcial del afloramiento de calizas tableadas (11) en el Cerro de María Alba (709).



FOTO nº 9504 VA

Detalle de las calizas (11) del C.E.G. existentes en la Carretera de Fuentes de Oñoro a La Alameda de Gardón.



FOTO nº 9505 VA

Vista parcial de un nivel conglomerático (11) de la Unidad Superior del C.F.G. con intenso diaclasado parcialmente sellado por cuarzo.



FOTO nº 9506 VA

Detalle de la foto anterior. Microconglomerado subarcósico compacto con escasa matriz y tamaño de grano comprendido entre 2 y 6 mm.



FOTO nº 9507 VA

Vista parcial de un afloramiento de pizarras grises bandeadas (12) pertenecientes a la Unidad Superior del C.E.G. 1: Estratificación. 2: Esquistosidad de Fase 1.



FOTO nº 9508 VA

Detalle de la foto anterior.



FOTO nº 9509 VA

Afloramiento de gravuvas (12) fuertemente diaclasadas de la Unidad Superior del C.E.G.



FOTO nº 9510 VA

Detalle de la foto anterior. So: N 140º E/36º S y Si: N 135º E/42º S.

1: Estratificación 2: Esquistosidad de Fase 1.



FOTO nº 9511 VA

Afloramiento de pizarras negras bandeadas (13) de la Unidad Superior del C.E.G.



FOTO nº 9512 VA

Detalle de la foto anterior, esquistos carbonosos de color negro, compacto y fuertemente crenulado (esquistosidad de Fase 2).



FOTO nº 9513 VA

Vista panorámica de la corta "Fe-2" para la obtención de Uranio en metasedimentos del C.E.G. Al fondo, relieves ordovícicos, Sierras de Torralba y Camaces.



FOTO nº 9514 VA

Detalle de las cuarcitas blancas del Ordovícico (14) con fuerte diaclasado según dos sistemas: $N 45^{\circ} E/90^{\circ}$ y $N 90^{\circ} E/90^{\circ}$.



FOTO nº 9515 VA

Vista parcial de las murallas de Ciudad Rodrigo edificadas sobre las areniscas de Ciudad Rodrigo (15).



FOTO nº 9516 VA

Detalle de la foto anterior. Facies de llanura de inundación (fangos) con facies canalizada sobre ellos (areniscas y conglomerados).



FOTO nº 9517 VA

Vista panorámica de los materiales terciarios. 1: Arcosas y areniscas arcósicas. 2: Aparato de la Alamedilla 3: Relieves del C.E.G. (Hoja de Fuenteguinaldo) 4: Relieves ordovícicos de la Sierra de Francia 5: Depósitos aluviales de la Rivera del Sestil.



FOTO nº 9518 VA

Detalle de la foto anterior. Arcosas y areniscas arcólicas de Fuentes de Oñoro (16).



FOTO nº 9519 VA

Vista parcial del afloramiento de gravas y cantos (18).



FOTO nº 9520 VA

Detalle de la foto anterior. Arenas y bloques mal clasificados.



FOTO nº 9521 VA

Fenómenos de "Slumping" en calizas tableadas (11) debido a deslizamientos sinsedimentarios con formación de pliegues intraformacionales.



FOTO nº 9522 VA

Detalle de charnelas anticlinales de Fase 1 en calizas tableadas (11), con eje de dirección N 7º E/20º S.



FOTO nº 9523 VA

Detalle de pizarras bandeadas de la Unidad Superior (12) del C.E.G. 1: Estratificación 2: Esquistosidad de Fase 1. 3: Esquistosidad de Fase 2. 4: Lineación (So-S2).



FOTO nº 9524 VA

Detalle de esquistosidad de Fase 2 (Crenulación intensa): N 80° E/40° S en pizarras bandeadas (12).



FOTO nº 9525 VA

Vista parcial de varios de los bancos de la corta "Fe-1" en materiales metamórficos de la Unidad Superior del C.F.G. Pliegues menores de Fase 1.



FOTO nº 9526 VA

Budines subparalelos a los planos de estratificación So.



FOTO nº 9527 VA

Interferencia de pliegues menores de Fase 1 y Fase 2.



FOTO nº 9528 VA

Afloramiento canterado de granodioritas y granitos de grano fino porfídicos (4).



FOTO nº 9529 VA

Detalle de la foto anterior con megacristales de feldespato orientados según la dirección N 10º E. y con buzamiento de 18º S.



FOTO nº 9530 VA

Vista de un afloramiento de granodioritas y granitos profídicos biotíticos y de grano grueso ("facies de borde") (5). Aspecto parcial del "berrocal" desarrollado, así como, la vetas que la atraviesan según dos direcciones (N-S y NE-SO).



FOTO nº 9531 VA

Detalle de la foto anterior donde se observa el gran desarrollo de los megacristales de feldespato característicos de esta facies.



FOTO nº 9532 VA

Afloramiento canterado de granitos monzoníticos de grano medio y de dos micas
(+ Andalusita) (6)



FOTO nº 9533 VA

Detalle de la foto anterior, donde se aprecia el gran desarrollo de la biotita y los feldspatos son menos numerosos y de menor tamaño que en la "facies de borde".



FOTO nº 9534 VA

Afloramiento de granitos monzoníticos de grano medio y de dos micas, subfacies moscovítica (6 m).



FOTO nº 9535 VA

Detalle de la foto anterior. En ella se observa el predominio de la moscovita y el tamaño de grano medio con varias concreciones de tamaño grueso.



FOTO nº 9536 VA

Vista parcial de lucogranitos aplo-pegmatíticos (7).



FOTO nº 9537 VA

Detalle de la anterior (subfacies aplítica) con cristales macroporfíricos de cuarzo rodeados por una matriz de grano más fino de albita, feldespato potásico y moscovita.



FOTO nº 9538 VA

Vista parcial de una apófisis granítica leucocrática (9), de tamaño de grano fino intruída en pizarras, grauvacas y calizas del C.E.G.



FOTO nº 9539 VA

Vista general de un dique de cuarzo (3) de dirección ONO-ESE, con potencia máxima de 10 mm y corrida no superior a 200 mm.



FOTO nº 9540 VA

Dique granítico lucocrático rico en moscovita y de grano fino (2) intruido en la "facies de borde" (5).



FOTO nº 9541 VA

Detalle de la foto anterior donde se observa su aspecto aplitico, así como zonas pegmatíticas con concreciones de turmalina.



FOTO nº 9542 VA

Vista parcial de un afloramiento de un dique de felsita (1).

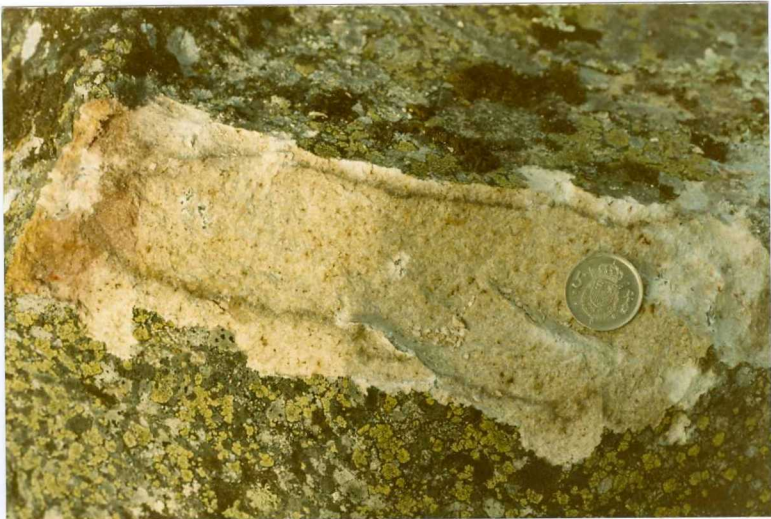


FOTO nº 9543 VA

Detalle de la foto anterior done se aprecia la composición principal del dique leucocrático y de grano fino: cuarzo, plagioclasa y feldespató potásico.



FOTO nº 9544 VA

Vista parcial de la zona con metamorfismo de contacto con desarrollo de corneanas. En el ángulo superior izquierdo se observa el "berrocal" conformado por la "facies granítica de borde" (5).



FOTO nº 9545 VA

Detalle de foto anterior. Aspecto parcial de las corneanas.